

毫 米 波 无 线 电 测 量

Г. Д. 布尔顿、Р. А. 瓦里托夫、Л. Н. 布良斯基、

В. Д. 库库施、В. И. 告罗宁科著

电信工业局编译所译

第一机械工业部无线电计量室校



國防工業出版社

序 言

无线电技术正向着运用愈益短波的方向发展着。随着厘米波的掌握，毫米波段的无线电波已开始实际应用。

在毫米波无线电计量中，广泛运用了厘米波方面所积累的有关测量方法、测量仪器的设计和使用的经验。但是在小于一厘米的波长范围内，由于线路元件和介质内损耗的增大，及机械结构制造的精度要求高，就开始出现了一些附加的困难。

这种情况，就促使人们寻求毫米波无线电测量技术中一些问题解决的新办法。首先希望创造一种其极限尺寸不限制波长的测量装置。因此，光学测量法研究的可能性是合理的。

问题这样地提出，导致运用毫米波的干涉和绕射现象、马留斯定律和电磁波有质作用等来进行测量。

本书是使有关毫米波无线电测量的材料系统化的首次尝试，它对毫米波无线电测量技术中的一些主要问题皆作了研究。本书阐述有关波长、频率、功率、衰减、阻抗、电压驻波系数、材料的电介质和磁特性的测量方法和仪器。关于毫米波段应用中尚未得到应有发展的一些仪器（如信号发生器，频谱分析仪等），本书不予以阐述。

作者欢迎所有关于本书的意见。来信请寄至：苏联哈尔科夫市大学路 16 号交哈尔科夫国立高尔基大学出版社。

目 录

序言	5
第一章 毫米波振荡器与毫米波指示器波导系統；实现 和檢驗波导系統元件匹配方法和仪表	7
第一节 毫米波振荡器	7
第二节 毫米波指示器	10
第三节 波导系統；波导系統元件匹配程度对測量精度的影响	12
第四节 阻抗和电压驻波系数的測量方法及其仪表	16
第五节 匹配裝置	20
第六节 終端匹配負載	21
第二章 波长与频率的測量	23
第一节 諧振式波長表	24
第二节 外差式頻率計	29
第三节 原子与分子頻率标准	31
第四节 测量波长的干涉法	34
第五节 用繞射分光計法測量波長	43
第三章 功率測量計及其測量方法	48
第一节 功率計的分类	48
第二节 功率热量計	50
第三节 热敏电阻的和电阻輻射热能的測量計	62
第四节 波导功率計	69
第五节 电磁波有質作用在特高頻功率測量中的应用	70
第六节 空腔諧振器或同軸綫和波导管壁的电磁波壓力有質 功率計	74
第七节 反射件、波导管或空腔諧振器內部的电磁波壓力有 質功率計	79
第四章 衰減測量和功率分配	89

第一节	衰减器	89
第二节	定向耦合器	99
第三节	作为功率分配器用三通波导管	104
第四节	定向耦合器和衰减器定度的方法	104
第五章	介质的介电常数和磁性常数的测量	108
第一节	波导法测量介质	109
第二节	谐振法测量介质	116
第三节	导磁介质的电性和磁性的测量	118
第四节	测量在自由空间中的电介质	120
第五节	介质有质测量计	131
参考文献	133

毫 米 波 无 线 电 测 量

Г. Д. 布尔顿、Р. А. 瓦里托夫、Л. Н. 布良斯基、

В. Д. 库库施、В. И. 告罗宁科著

电信工业局编译所译

第一机械工业部无线电计量室校



国防工业出版社

內容摘要

¹ See also the discussion of the relationship between the two concepts in the introduction.

目 录

序言	5
第一章 毫米波振荡器与毫米波指示器波导系統；实现 和檢驗波导系統元件匹配方法和仪表	7
第一节 毫米波振荡器	7
第二节 毫米波指示器	10
第三节 波导系統；波导系統元件匹配程度对測量精度的影响	12
第四节 阻抗和电压驻波系数的測量方法及其仪表	16
第五节 匹配裝置	20
第六节 終端匹配負載	21
第二章 波长与频率的測量	23
第一节 諧振式波長表	24
第二节 外差式頻率計	29
第三节 原子与分子頻率標準	31
第四节 測量波長的干涉法	34
第五节 用繞射分光計法測量波長	43
第三章 功率測量計及其測量方法	48
第一节 功率計的分类	48
第二节 功率热量計	50
第三节 热敏电阻的和电阻輻射热能的測量計	62
第四节 波导功率計	69
第五节 电磁波有質作用在特高頻功率測量中的应用	70
第六节 空腔諧振器或同軸綫和波导管壁的电磁波压力有質 功率計	74
第七节 反射件、波导管或空腔諧振器內部的电磁波压力有 質功率計	79
第四章 衰減測量和功率分配	89

第一节	衰减器	89
第二节	定向耦合器	99
第三节	作为功率分配器用三通波导管	104
第四节	定向耦合器和衰减器定度的方法	104
第五章	介质的介电常数和磁性常数的测量	108
第一节	波导法测量介质	109
第二节	谐振法测量介质	116
第三节	导磁介质的电性和磁性的测量	118
第四节	测量在自由空间中的电介质	120
第五节	介质有质测量计	131
参考文献	133

序 言

无线电技术正向着运用愈益短波的方向发展着。随着厘米波的掌握，毫米波段的无线电波已开始实际应用。

在毫米波无线电计量中，广泛运用了厘米波方面所积累的有关测量方法、测量仪器的设计和使用的经验。但是在小于一厘米的波长范围内，由于线路元件和介质内损耗的增大，及机械结构制造的精度要求高，就开始出现了一些附加的困难。

这种情况，就促使人们寻求毫米波无线电测量技术中一些问题解决的新办法。首先希望创造一种其极限尺寸不限制波长的测量装置。因此，光学测量法研究的可能性是合理的。

问题这样地提出，导致运用毫米波的干涉和绕射现象、马留斯定律和电磁波有质作用等来进行测量。

本书是使有关毫米波无线电测量的材料系统化的首次尝试，它对毫米波无线电测量技术中的一些主要问题皆作了研究。本书阐述有关波长、频率、功率、衰减、阻抗、电压驻波系数、材料的电介质和磁特性的测量方法和仪器。关于毫米波段应用中尚未得到应有发展的一些仪器（如信号发生器，频谱分析仪等），本书不予以阐述。

作者欢迎所有关于本书的意见。来信请寄至：苏联哈尔科夫市大学路 16 号交哈尔科夫国立高尔基大学出版社。

第一章 毫米波振蕩器与毫米波指示器波导系統；实现和檢驗波导系統元件匹配方法和仪表

第一节 毫米波振蕩器

火花振蕩器是毫米波最初来源。1895年俄国著名的科学家，П. Н. 列別捷夫为了研究特高頻电介质的电气特性曾采用波长6毫米的电磁波火花振蕩器。

于1923年A. A. 格拉柯列娃-阿尔卡吉耶娃建立以电磁波火花激励的大型辐射器，并用該辐射器取得了列別杰夫波（ $\lambda = 6$ 毫米）和魯邊斯紅外線（ $\lambda = 340$ 微米）之間波长达0.08毫米的波。

随着特高頻电子学的发展，已建立几种毫米波振蕩器。其中应用最广的是：速調管振蕩器，磁控管振蕩器和諧波振蕩器。

此外，用行波管，返波管，充气放电杂音发生器和分子束振蕩器也能获得毫米波。近来，正在制定利用切連柯夫效应和多普列尔等效应的各种振蕩器。

速調管振蕩器 在測量振蕩器中，經常采用回復速調管作为振蕩源，該振蕩器的作用原理是利用电子聚束現象。在振蕩稳定的状态下，回復速調管的自激机构按照下列方法进行工作。

諧振器上的正電位使阴极放射出的电子流射速加快（图

电子流在谐振器栅极间高頻交变电压 $u = u_m \sin \omega t$ 作用下进行調速。电子飞越栅极后，进入反射极负电位作用的范围内。因此，电子受到阻擋，并开始以反方向往谐振器运动。

电子开始在栅极与反射极間的空隙内聚束。反射极与谐振器間的距离及其电压的大小，应确定得使高頻電場阻擋电子时（即电子流将把自己的能量輸送

給谐振器的电磁場时），电子流成电子束能重新通过谐振器的栅极。

仅当反射板和谐振器內的电压固定时，回復速調管才能产生自激。

由于回復速調管的最大波长处于毫米波段内，所以振蕩系統內的損耗极大，同时在某些情况下，其精密度达零点几微米，这就使制造高精度速調管結構元件时有一定的困难。近年来用造型法制成了用于4毫米以内波長的輸出功率为30毫瓦的毫米波速調管。

磁控管振蕩器 苏联科学家H. Ф. 阿列克謝耶夫和Д. Е. 馬里罗夫所設計的多諧振式磁控管振蕩，其工作原理是分布于磁控管阳极部分內的諧振磁场与电子流。該电子流是固定磁场和磁控管阴极与阳极間的外加电压（脉冲电压或直流电压）来控制。在固定磁场和电場，以及諧振器高頻磁场的作用下，当振蕩处于稳定状态时，空間电荷形成許多“車輻”。

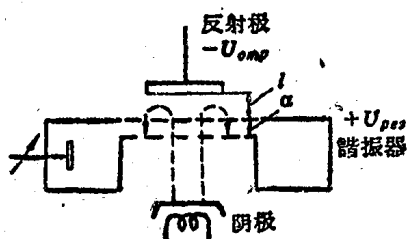


图1 回復速調管电路图。

多諧振式磁控管內电磁場空間電荷分布特性的圖解示于圖2。K和A——磁控管的陰極和陽極，H——磁場，Q——空間電荷。

現在于毫米波段中不但製造出脈冲磁控管，而且有連續輻射磁控管。

諧波發生器 大家知道，在頻率 f 高頻振蕩作用的晶体檢波電路中，由於檢波器具有非直線性的特性便出現頻率為 nf 的電流（式中 n ——正整數——諧波號數），諧波號數越大，電流強度就越小。如果能用任何一種電路分出諧波成分，則該諧波成分可用作頻率更高的振蕩電源。

在檢波器電路中不同頻率的兩種信號作用其上時，便會出現組合頻率 $\pm mf_1 \pm nf_2$ 的電流，式中 m 和 n ——正整數。例如，當（電流）增加一倍時，便可得到約為基頻饋給功率的百分之几信號。組合頻率的振幅比同次諧波振幅能取得較大的數值。

增加和改變較長波段的供電電源頻率是獲得毫米波段能量的方法之一。硅檢波器和鎢檢波器都可用来增頻和變頻。這兩種檢波器的變換系數大致相同，但鎢檢波器較穩定。

用晶体倍頻器可得到其強度足夠供某些測量用的毫米波。將較長波長的二個電源的振蕩同時作用到晶体檢波器時，（其中一個為可調的電源）用晶体檢波器電路中的組合頻率便

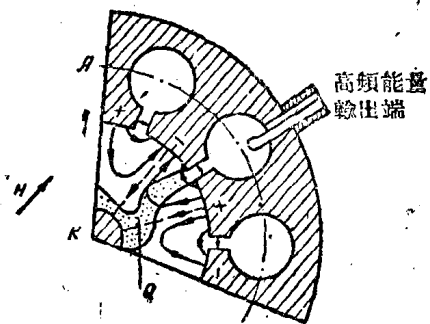


圖2 多諧振式磁控管的电磁場與空間電荷的分布。

能实现毫米波段的均匀覆盖。

利用晶体检波器分出谐波的方法来增频的原理图示于图3。基频 f_1 输入波导管调谐部分。用上波导管的晶体分出频率为 $\pm f_1$ 的谐波；该波导管的尺寸相当于此谐波，而且小于基本频率的极限尺寸。

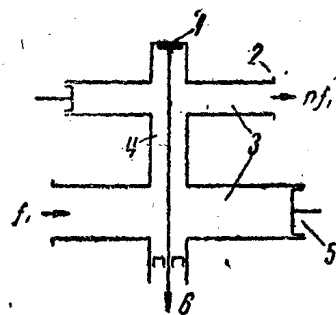


图3 用晶体检波器增大频率的
原理图：

1—晶体的凸緣；2—輸出端；3—波
导管；4—同軸綫；5—短路活塞；
6—位移或調制。

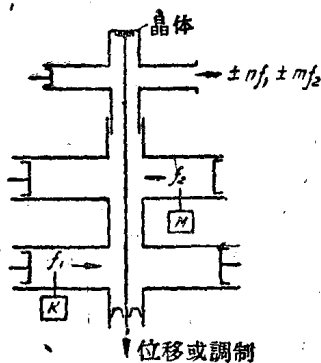


图4 变频的原理图。

图4利用两个振荡器（即频率为 f_1 的振荡器K和频率为 f_2 的振荡器M）同时作用于检波器时，在晶体检波器电路中产生的组合频率的倍频的原理图。

第二节 毫米波指示器

毫米波指示器系用来表达电磁振荡和测定其强度。现有的毫米波指示器，按其工作原理可分为下列几种主要类型：热电偶（温差电偶），热电阻（热能辐射测量计，热敏电阻），非直线条性元件（晶体检波器以及其他等）。

作振蕩指示器用的热电偶（溫差電偶）的工作原理是根据电磁振蕩的热效应，因此，由不同材料制成的导線在焊接处会出现可用直流指針式仪表来控制的热电动势。

热电偶是电磁振蕩原始指示器的一种，十九世紀末它在物理学上的应用颇为广泛。П. Н. 列別杰夫在自己的实验中就曾用热电偶来记录毫米波段衰減的振蕩。

热电偶可用来指示向空间辐射的电磁能量和傳輸線路及槽路中的电磁振蕩。接在半波长振子中的非接触式热电偶線路如图5所示。如果該振子的位置对于发射机构保持不变的話，热电偶的电流值即可用来指示发射机的输出功率。

热电阻振蕩指示器的工作原理，是在高頻能量作用下改变該元件的电阻为基础的。較常用的

热电阻是电阻溫度系数較大的热能輻射測量計和热敏电阻，它们对电磁波强度的改变具有很高的灵敏度。

目前广泛采用晶体檢波器作为毫米波指示器，因为該檢波器具有非直線特性，所以可用來檢波或把这种信号变为較低频率，便于用简单器具檢驗。

鎢檢波器和硅檢波

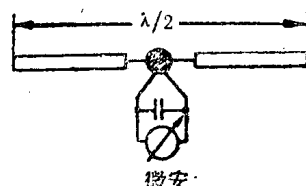


图5 接在半波长振子中的
非接触式热电偶線路图。

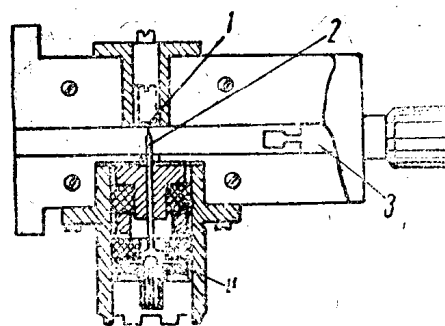


图6 毫米波段檢波头的結構。

1—晶体；2—振子；3—清塞；4—探出插头。

器在毫米波段中均可应用。檢波器的灵敏度一般不超过 0.7 微安/微瓦，其灵敏度取决于晶体的质量，接触弹簧的銳度及其压力等因素。

帶有一个調諧元件（能把电压駐波系数匹配到小于 2 的非接触短路活塞）的 4 毫米波段檢波箱的結構如图 6 所示。

由于采用了直徑較大的振子便能和一个調諧机构相匹配。

第三节 波导系統；波导系統元件匹配程度

对測量精度的影响

在毫米波无线电技术中也像在厘米波技术中一样，广泛利用波导管傳播电磁波。无论在一般毫米波设备中，或者是在测量仪表中都能应用。毫米波振荡器起始的波导系統包括：波导傳播線路，异徑管，联接头，各种調整装置，匹配装置和测量装置。現在，对各种毫米波段的波导管都規定有一定的尺寸。

在毫米波的各种测量中，波导系統元件适当的匹配可以得到正确的結果。例如，当测量功率时，其测量結果实际上 是根据功率計輸入端和振荡器輸出端与波导系統的匹配情况而定。用代替法测量衰減时也是如此，其結果实际上是取决于标准衰減器和被定度的衰減器輸入端与輸出端、指示器輸入端与振荡器輸出端的匹配的情况。因此，带有理想匹配元件的波导系統所获得的测量結果一般认为是正确的。

测量功率和衰減时，失配誤差特別大。为了說明波导系統元件的匹配对功率和衰減测量精度影响的程度，讓我們回忆一下某些已知的关系。

在均匀的波导中，接有效输入电阻（等于波导阻抗 W ）为 Z 的负载，则在此仪表中入射电磁波的全部功率将被吸收掉，波导线路中发生行波状态，可以认为这种仪表的输入端是与该波导线相匹配的（或简称匹配）。

在波导中接不匹配的电阻负载，则在其中除了入射波外还有反射波（多次反射时反射波为 n ）。

我们还记得，配匹除了原先已有的概念外，现在还有在波导系统中两个元件复合耦合匹配的概念。这时，每个元件都负载于电阻，阻抗的有功成分等于其输出电阻的有功成分，其无功成分的数值相等，但符号相反。

当振荡器与负载复合耦合匹配时，最大功率由振荡器传输到负载。

如果一个仪表匹配好了，另一个仪表与其复合匹配，那末第二个仪表也认为是匹配好了。在特殊情况，有时，可用这种复合耦合的匹配作为匹配仪表方法之一。

仪表的输入阻抗和输出阻抗是频率的函数。因此，在某一频率匹配的仪表，若采用另一频率就会发生失配。在频带中仪表带有规定精度匹配是该仪表主要特性之一。

反射波强度与入射波强度幅度的比值称为反射系数 ρ 。

$$\rho = \frac{E_{\text{out}}}{E_{\text{in}}} = \frac{\tilde{Z} - 1}{\tilde{Z} + 1}, \quad (1.1)$$

式中 $\tilde{Z} = \frac{Z}{W}$ —— 负载的额定电阻。

在一般情况下，反射系数是一个复数，并可写成下面形式：

$$\rho = |\rho| e^{i\varphi}.$$

实际上，任何负载的反射系数，是按无损耗波导线路中